

АКУСТИЧЕСКОЕ И ЭЛЕКТРОМАГНИТНОЕ ВОЗБУЖДЕНИЕ СВЕРХИЗЛУЧАТЕЛЬНОГО СОСТОЯНИЯ В КРИСТАЛЛАХ С ПАРАЭЛЕКТРИЧЕСКИМИ ПРИМЕСЯМИ

Ф. С. Ваганова и Р. В. Сабурова

Рассматриваются особенности сверхизлучательных явлений в параэлектрических системах. Теоретически исследуется возможность генерации электромагнитных и звуковых когерентных колебаний в параэлектрической системе с примесными молекулярными диполями (КС1, ОН⁻). Найдена ориентационная зависимость сигналов электромагнитной индукции и эха, фононной индукции и эха. Рассматривается генерация в импульсном режиме когерентного звукового поля посредством электромагнитного возбуждения системы, проведено качественное сравнение с экспериментальными данными.

Процессы сверхизлучения являются когерентными спонтанными процессами излучения фотонов, фононов и других квантов энергии. Сверхизлучательное состояние спин-системы и его создание при помощи импульсов когерентного электромагнитного поля впервые рассмотрены Блохом [1]. Фононную индукцию и эхо первыми исследовали Копвиллем и Нагибаров [2]. Сверхизлучательные явления интенсивно исследуются в настоящее время [3-8].

В данной работе теоретически рассмотрены электромагнитная индукция и эхо, фононная индукция и эхо в параэлектрических системах. Характерной отличительной особенностью рассматриваемых систем является наличие диагональных матричных элементов оператора дипольного момента в гамильтониане взаимодействия диполей с полем.

Интенсивность когерентного спонтанного дипольного излучения системы из $N(j, l, \dots = 1, \dots N)$ многоуровневых частиц с неэквидистантным спектром рассчитаем по следующей формуле [9]:

$$I_{\alpha\beta}(\mathbf{k}) = I_{\alpha\beta}^0(\mathbf{k}) \sum_{j \neq l}^N (\text{Sp } \rho^j(t) P_{\alpha\beta} \exp\{i\mathbf{k}\mathbf{r}^j\}) (\text{Sp } \rho^l(t) P_{\beta\alpha} \exp\{-i\mathbf{k}\mathbf{r}^l\}), \quad (1)$$

где $I_{\alpha\beta}^0(\mathbf{k})$ — интенсивность спонтанного излучения изолированного диполя в единицу телесного угла в направлении волнового вектора \mathbf{k} на переходе между энергетическими уровнями α и β ; $\rho^j(t)$ — матрица плотности j -го диполя в момент времени t , \mathbf{r}^j — радиус-вектор местоположения j -го диполя, $P_{\alpha\beta}$ — проективная матрица, имеющая нулевые матричные элементы, кроме $\alpha\beta$, который равен единице.

Изменение матрицы плотности во времени дается квантовым уравнением Лиувилля, решение которого представим в виде

$$\rho(t) = S \rho_0 S^{-1}, \quad (2)$$

где $S = D_n R_n \dots D_2 R_2 D_1 R_1$; D_n — решение уравнения Шредингера в промежутке между импульсами n и $n+1$, R_n — решение уравнения Шредингера во время действия n -го импульса

$$i\hbar \frac{dR_n}{dt} = (\hat{H}_0 + H_1(t)) R_n. \quad (3)$$

Здесь \hat{H}_0 описывает невозмущенный спектр системы, а $\hat{H}_1(t)$ — возмущение. При расчете удобно перейти к величине $R_n^* = \exp\{iH_0(t-t_0)/\hbar\} R_n$, тогда $i\hbar dR_n^*/dt = H_1^*(t) R_n^*$. Предполагая, что $H_1^*(t)$ есть малая величина первого порядка, представим R_n^* в виде ряда $R_n^* = 1 + R_1^* + R_2^* + \dots$, где

$$R_1^* = -i\hbar^{-1} \int_{t_0}^t H_1^*(t') dt', \quad R_2^* = (-i\hbar^{-1})^2 \int_{t_0}^t H_1^*(t') dt' \int_{t_0}^{t'} H_1^*(t'') dt'' \text{ и т. д.} \quad (4)$$

Для определения R_n^* в наших расчетах мы ограничимся первым приближением по недиагональной части спектра взаимодействия $\langle \alpha | H_1^*(t) | \beta \rangle$, а диагональную часть взаимодействия $\langle \alpha | H_1^*(t) | \alpha \rangle$ учтем точно. Это возможно, так как в связи с перестановочностью различных значений подынтегральной матричной функции $\langle \alpha | H_1^*(t) | \alpha \rangle$

$$\begin{aligned} & \langle \alpha | H_1^*(t') | \alpha \rangle \langle \alpha | H_1^*(t'') | \alpha \rangle = \\ & = \langle \alpha | H_1^*(t'') | \alpha \rangle \langle \alpha | H_1^*(t') | \alpha \rangle; \quad t', t'' \in (t_0, t) \end{aligned}$$

мультипликативный интеграл

$$\begin{aligned} & 1 + \frac{1}{i\hbar} \int_{t_0}^t \langle \alpha | H_1^*(t') | \alpha \rangle dt' + \\ & + \left(\frac{1}{i\hbar}\right)^2 \int_{t_0}^t \langle \alpha | H_1^*(t') | \alpha \rangle dt' \int_{t_0}^{t'} \langle \alpha | H_1^*(t'') | \alpha \rangle dt'' + \dots \end{aligned}$$

сводится к матрице

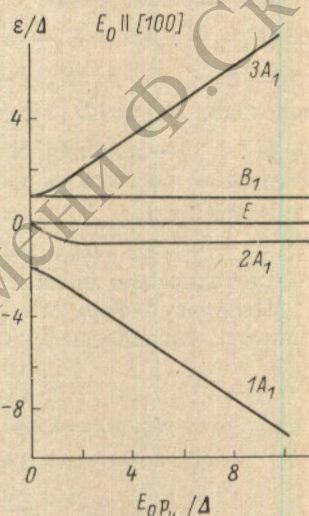
$$\exp \left\{ (-i/\hbar) \int_{t_0}^t \langle \alpha | H_1^*(t) | \alpha \rangle dt \right\}.$$

1. Электромагнитное возбуждение

Рассмотрим систему, состоящую из N при-
менных электрических диполей с дискретным
неэквидистантным спектром в кристалле КС
в сильном постоянном электрическом поле
 $E_0 \parallel [100]$ (см. рисунок). В момент времени
 $t=0$ система находится в равновесном состоянии, описываемом матрицей
плотности ρ_0 . Далее система подвергается воздействию двух интенсив-
ных импульсов электромагнитного поля $E_1 \parallel [100]$, резонансных пере-
ходу $2A_1 \leftrightarrow 1A_1$, длительности t_w , с интервалом времени между ними τ .
Аналогично блоховским временам релаксации мы будем говорить о вре-
мени энергетической релаксации T_1 диполей, обусловленной взаимодей-
ствием диполей с колебаниями решетки; времени необратимой фазовой ре-
лаксации T_2 , определяемой диполь-дипольным взаимодействием, и вре-
мени обратимой фазовой релаксации T_2^* , обусловленной неоднородностями
внешнего и внутренних локальных электрических полей. Тогда условия
 $t_w < T_1, T_2, T_2^*$ и $T_2^* \leq \tau < T_1, T_2$ необходимы для осуществления импульс-
ного эксперимента типа спинового эха.

Гамильтониан задачи имеет вид

$$\hat{H} = \hat{H}_{01} + \hat{H}_{02} + \hat{H}_1(t) = \sum_{j=1}^N (\hat{H}_{01}^j + \hat{H}_{02}^j + \hat{H}_1^j(t)), \quad (5)$$



Уровни энергии для неде-
формированного кристалла
в сильном постоянном
электрическом поле, на-
правленном вдоль оси \parallel
[100], $E_{0P_0}^2 \gg \Delta^2$.

где

	1A ₁	2A ₁	1E	1B ₁	3A ₁		1A ₁	2A ₁	1E	1B ₁	3A ₁
1A ₁	$-E_0 p_u$	0	0	0	0	1A ₁	$D_{k_\gamma}^j$	$C_{k_\gamma}^j$	0	0	0
2A ₁	0	$-\Delta_0$	0	0	0	2A ₁	$(C_{k_\gamma}^j)^*$	0	0	0	0
1E	0	0	0	0	0	1E	0	0	0	0	0
1B ₁	0	0	0	Δ_0	0	1B ₁	0	0	0	0	0
3A ₁	0	0	0	0	$E_0 p_u$	3A ₁	0	0	0	0	0

Здесь p_u — электрический дипольный момент, нескорректированный на локальные поля, Δ_0 — матричный элемент туннелирования; $\hat{H}_\gamma^j(t) = -\hat{p}_z E_1 \times \sin(k_1 r^j - \omega_0 t)$ описывает взаимодействие диполя с когерентным полем в виде плоской волны с волновым вектором k_γ ($\gamma = 1, 2$) и частотой $\omega_0 = (E_0 p_u - \Delta_0)/\hbar$, E_1 — амплитуда переменного поля, $C_{k_\gamma}^j = |c| e^{i(\omega_0 t - k_\gamma r^j}$, $c = E_1 \langle 1A_1 | \hat{p} | 2A_1 \rangle$ — матричный элемент оператора дипольного момента перехода, $D_{k_\gamma}^j = |D| \sin(k_1 r^j - \omega_0 t)$; $|D| = E_1 \langle 1A_1 | \hat{p} | 1A_1 \rangle = E_1 \langle 3A_1 | \times \hat{p} | 3A_1 \rangle$ — матричный элемент оператора собственного дипольного момента. Эволюция системы в промежутке между двумя импульсами определяется гамильтонианом \hat{H}_{02} , описывающим разброс значений локальных полей $\hat{H}_{02}^j = -\delta\omega^j (\omega_0^j)^{-1} H_{01}$, где $\delta\omega^j = \omega_0^j - \omega_0$ — разброс частот, обусловленный неоднородностью внешнего и внутренних электрических полей.

Используя формулы (1)–(6), получим следующее выражение для интенсивности сигнала свободной индукции:

$$I_{\alpha\beta}^u(k) = I_{\alpha\beta}^0(k) \left(\sum_{i=1}^5 e^{\frac{\varepsilon_i}{k_B T}} \right)^{-2} \left(\frac{|C| t_w}{\hbar} \right)^2 \sum_{j \neq l}^N e^{i(k-k_1) \cdot (r^j - r^l)} \times \\ \times \left(e^{\frac{\varepsilon_1}{k_B T}} A_D^j - e^{\frac{\varepsilon_2}{k_B T}} \right) \left(e^{\frac{\varepsilon_1}{k_B T}} A_D^l - e^{\frac{\varepsilon_2}{k_B T}} \right), \quad (7)$$

где

$$\left(\sum_{i=1}^5 e^{\frac{\varepsilon_i}{k_B T}} \right)^{-2} = \left(\exp \left\{ \frac{E_0 p_u}{k_B T} \right\} + \exp \left\{ \frac{\Delta_0}{k_B T} \right\} + 1 + \exp \left\{ -\frac{\Delta_0}{k_B T} \right\} + \exp \left\{ -\frac{p_u E_0}{k_B T} \right\} \right)^{-2}, \\ A_D^j = \exp \left\{ -\frac{i|D|}{\hbar\omega_0} \cos(\omega_0 t_w - \mathbf{k}_1 \mathbf{r}^j) \right\}, \quad A_D^l = \exp \left\{ +\frac{i|D|}{\hbar\omega_0} \cos(\omega_0 t_w - \mathbf{k}_1 \mathbf{r}^l) \right\}.$$

Ограничиваясь первыми тремя членами в разложении A_D^j в ряд (при $|D|/\hbar\omega_0 \ll 1$), из выражения (7) имеем

$$I_1^u(\mathbf{k}) = I_{\alpha\beta}^0(\mathbf{k}) \left(\sum_{i=1}^5 e^{\frac{\varepsilon_i}{k_B T}} \right)^{-2} \left(e^{\frac{\varepsilon_1}{k_B T}} - e^{\frac{\varepsilon_2}{k_B T}} \right)^2 \left(\frac{|C| t_w}{\hbar} \right)^2 \sum_{j \neq l}^N e^{i(\mathbf{k}-\mathbf{k}_1) \cdot (r^j - r^l)}, \quad (8)$$

$$I_2^u(\mathbf{k}) = I_{\alpha\beta}^0(\mathbf{k}) \left(\sum_{i=1}^5 e^{\frac{\varepsilon_i}{k_B T}} \right)^{-2} e^{\frac{2\varepsilon_1}{k_B T}} \left(\frac{|C| t_w}{\hbar} \right)^2 \left(\frac{|D|}{\hbar\omega_0} \right)^4 \sum_{j \neq l}^N e^{i(\mathbf{k}+\mathbf{k}_1) \cdot (r^j - r^l)}. \quad (9)$$

Как видно из (8), (9), сигналы индукции имеют максимумы ($I \sim N^2$) относительно направлений, удовлетворяющих условию пространственного синхронизма $\mathbf{k} = \mathbf{k}_1$, $\mathbf{k} = -\mathbf{k}_1$.

Расчеты показывают наличие сигналов эха в момент времени $t = 2\tau$, интенсивность которых равна

$$I_{\alpha\beta}^2(k) = I_{\alpha\beta}^0(k) \left(\sum_{i=1}^5 e^{\frac{\epsilon_i}{k_B T}} \right)^{-2} \left(\frac{|C| t_w}{\hbar} \right)^{-2} \sum_{j \neq l}^N e^{i(k-2k_2+k_1)(r^j-r^l)} \times \\ \times \left(e^{\frac{\epsilon_1}{k_B T}} A_D^j - e^{\frac{\epsilon_2}{k_B T}} \right) \left(e^{\frac{\epsilon_1}{k_B T}} A_D^l - e^{\frac{\epsilon_2}{k_B T}} \right), \quad (10)$$

$$J_1^2(k) = I_{\alpha\beta}^0(k) \left(\sum_{i=1}^5 e^{\frac{\epsilon_i}{k_B T}} \right)^{-2} \left(e^{\frac{\epsilon_1}{k_B T}} - e^{\frac{\epsilon_2}{k_B T}} \right)^2 \times \\ \times \left(\frac{|C| t_w}{\hbar} \right)^6 \left(\frac{|D|}{\hbar \omega_0} \right)^2 \sum_{j \neq l}^N e^{i(k-2k_2+k_1)(r^j-r^l)}, \quad (11)$$

$$J_2^2(k) = I_{\alpha\beta}^0(k) \left(\sum_{i=1}^5 e^{\frac{\epsilon_i}{k_B T}} \right)^{-2} e^{\frac{2\epsilon_1}{k_B T}} \left(\frac{|C| t_w}{\hbar} \right)^6 \left(\frac{|D|}{\hbar \omega_0} \right)^2 \sum_{j \neq l}^N e^{i(k-2k_2+2k_1)(r^j-r^l)}, \quad (12)$$

$$J_3^2(k) = I_{\alpha\beta}^0(k) \left(\sum_{i=1}^5 e^{\frac{\epsilon_i}{k_B T}} \right)^{-2} e^{\frac{2\epsilon_1}{k_B T}} \left(\frac{|C| t_w}{\hbar} \right) \left(\frac{|D|}{\hbar \omega_0} \right)^4 \frac{1}{4} \sum_{j \neq l}^N e^{i(k-2k_2+3k_1)(r^j-r^l)}. \quad (13)$$

Из (11)–(13) следует, что когерентное излучение максимально в направлениях $\mathbf{k} = 2\mathbf{k}_2 - \mathbf{k}_1$, $\mathbf{k} = 2\mathbf{k}_2 - 2\mathbf{k}_1$, $\mathbf{k} = 2\mathbf{k}_2 - 3\mathbf{k}_1$. Оценку интенсивности сигналов индукции и эхо проведем при следующих значениях параметров: $E_0 = 10$ кВ/см, $p_w = 4 \cdot 10^{-18}$ ед. СГСЕ, $\Delta_0 = 6.2 \cdot 10^9$ Гц (0.30 К), $T = 2$ К, $N = 2 \cdot 10^{18}$, $\omega_0 = 3 \cdot 10^{11}$ Гц, $T_2 \sim 10^{-8}$ с, $T_2^* \sim 10^{-10}$ с, $T_1 \sim 10^{-8}$ с, $t_w \sim 10^{-9}$ с, $|D| = p_w E_1 = 3 \cdot 10^{-18}$ эрг, $|C| = (\Delta_0 / E_0) E_1 = 2.4 \cdot 10^{-18}$ эрг, $E_1 = 0.6$ кВ/см (E_1 определяется из условия $|C| t_w / \hbar \leq 1$).

В формулах (7)–(13) $I_{\alpha\beta}^0(k)$ — интенсивность спонтанного излучения с волновым вектором изолированного диполя в единицу телесного угла

$$I_{\alpha\beta}^0(k) = \omega_0^4 |\langle 1A_1 | \hat{p} + 2A_1 \rangle|^2 \sin^2 \varphi (4\pi c^3)^{-1} = 5 \cdot 10^{-24} \text{ эрг/с},$$

где φ — угол между k и плоскостью колебаний диполя, $\sin^2 \varphi = 1/2$.

Линия параэлектрического резонанса возбуждаемого перехода является неоднородно уширенной^[13]. При учете процессов поглощения и излучения энергии частью спиновых пакетов неоднородно уширенной линии интенсивность эха уменьшается примерно в $t_w/[g(\omega)]$ раз^[13] (где $g(\omega)$ — функция формы линии). В нашем случае интенсивности сигналов уменьшаются в 10^4 раз и равны $J_1^2 = 1.2 \cdot 10^7$ эрг/с, $J_2^2 = 1 \cdot 10^{-1}$ эрг/с, $J_1^2 = 8 \cdot 10^6$ эрг/с, $J_2^2 = 8 \cdot 10^2$ эрг/с, $J_3^2 = 10^{-1}$ эрг/с.

Таким образом, учет диагональных матричных элементов приводит к появлению дополнительных сигналов эха, интенсивности которых меньше интенсивности сигнала J_1 . Например, $J_2^2/J_1^2 \sim (|D|/\hbar\omega_0)^2 \sim 10^{-4}$, $J_3^2/J_1^2 \sim (|D|/\hbar\omega_0)^4 \sim 10^{-8}$.

2. Акустическое возбуждение

В отличие от электромагнитного способа возбуждение системы примесных центров импульсами упругих колебаний кристаллической решетки дает информацию о деталях центр-фононного взаимодействия.

Гамильтониан взаимодействия системы с полем упругих деформаций, создаваемых бегущей звуковой волной, поляризованной вдоль [100] оси с волновым вектором $\mathbf{k}_\gamma \parallel [100]$ ($\gamma = 1/2$), запишем в виде

$$\hat{H}_\gamma^{\text{вв.}} = \sum_{j=1}^N \hat{H}_j^j = \sum_{\Gamma_i} \sum_{j=1}^N M(\Gamma_i) \varepsilon(\Gamma_i) \exp\{\pm i(\mathbf{k}_\gamma r^j - \omega_0 t)\},$$

где $M(\Gamma_i)$ — линейные комбинации первых производных от потенциала примесного иона по координатам ионов решетки, преобразующиеся по i -й строке Γ_i неприводимого представления группы симметрии кристалла; $\varepsilon(\Gamma_i)$ — соответствующие компоненты тензора деформаций. Ненулевые матричные элементы гамильтониана $H_T^j(t) = \|L\|$, следующие:

$$\begin{aligned} \|L_{11}\| &= |\langle 1A_1 | M(\Gamma_i) \varepsilon(\Gamma_i) | 1A_1 \rangle \sin(\omega_0 t - \mathbf{k}_r \cdot \mathbf{r}^j) = |F| \sin(\omega_0 t - \mathbf{k}_r \cdot \mathbf{r}^j), \\ \|L_{12}\| &= \|L_{21}\|^* = |\langle 2A_1 | M(\Gamma_i) \varepsilon(\Gamma_i) | 1A_1 \rangle \exp\{i(\omega_0 t - \mathbf{k}_r \cdot \mathbf{r}^j)\} = \\ &= |G| \exp\{i(\omega_0 t - \mathbf{k}_r \cdot \mathbf{r}^j)\}. \end{aligned}$$

Полагаем, что связь электрических диполей с решеткой осуществляется посредством модуляции колебаниями решетки кристаллического электрического поля, действующего на диполь OH^- , а также короткодействующего взаимодействия отталкивания иона OH^- с ближайшими соседними ионами. Примесные частицы взаимодействуют с решеткой и генерируют звук посредством того же механизма, который обеспечивает диполь-решеточную релаксацию. Посредством когерентной диполь-решеточной релаксации [14] создаются упругие напряжения в решетке, являющиеся источником акустических волн.

Проведя аналогичные расчеты (см. разд. 1), запишем выражения для интенсивностей сигналов фононной индукции и эха

$$\begin{aligned} J_{\alpha\beta}^{\Phi n}(k) &= I_{\alpha\beta}^0(k) \left(\sum_{i=1}^5 e^{\frac{\varepsilon_i}{k_B T}} \right)^{-2} \left(\frac{|G| t_w}{\hbar} \right)^2 \sum_{j \neq l}^N e^{i(\mathbf{k} - \mathbf{k}_1) \cdot (\mathbf{r}^j - \mathbf{r}^l)} \times \\ &\times \left(e^{\frac{\varepsilon_1}{k_B T}} A_F^j - e^{\frac{\varepsilon_2}{k_B T}} \right) \left(e^{\frac{\varepsilon_1}{k_B T}} A_F^l - e^{\frac{\varepsilon_2}{k_B T}} \right), \end{aligned} \quad (14)$$

$$\begin{aligned} I_{\alpha\beta}^{\Phi \Phi}(k_\Phi) &= I_{\alpha\beta}^0(k_\Phi) \left(\sum_{i=1}^5 e^{\frac{\varepsilon_i}{k_B T}} \right)^{-2} \left(\frac{|G| t_w}{\hbar} \right)^6 \sum_{j \neq l}^N e^{i(\mathbf{k}_\Phi - 2\mathbf{k}_2 + \mathbf{k}_1) \cdot (\mathbf{r}^j - \mathbf{r}^l)} \times \\ &\times \left(e^{\frac{\varepsilon_1}{k_B T}} A_F^j - e^{\frac{\varepsilon_2}{k_B T}} \right) \left(e^{\frac{\varepsilon_1}{k_B T}} A_F^l - e^{\frac{\varepsilon_2}{k_B T}} \right), \end{aligned} \quad (15)$$

где $A_F^j = \exp\{i(F/\hbar\omega_0) \cos(\omega_0 t_w - \mathbf{k}_1 \cdot \mathbf{r}^j)\}$.

В сигналах фононной индукции $J_1^{\Phi n}(\mathbf{k})$, $J_2^{\Phi n}(\mathbf{k})$ с максимальной интенсивностью излучаются фононы с векторами $\mathbf{k} = \mathbf{k}_1$, $\mathbf{k} = -\mathbf{k}_1$.

Расчеты показывают, что сигналы эха $J_1^{\Phi \Phi}$, $J_2^{\Phi \Phi}$, $J_3^{\Phi \Phi}$, $J_4^{\Phi \Phi}$ появляются в момент времени $t = 2\tau$ и максимальны в направлениях $\mathbf{k}_\Phi = 2\mathbf{k}_2 - \mathbf{k}_1$, $\mathbf{k}_\Phi = 2\mathbf{k}_2 - 2\mathbf{k}_1$, $\mathbf{k}_\Phi = 2\mathbf{k}_2$, $\mathbf{k}_\Phi = 2\mathbf{k}_2 - 3\mathbf{k}_1$. Сигнал $J_3^{\Phi \Phi}$ имеет частоту, в два раза меньшую частоты возбуждающего генератора. Следовательно, интенсивность $J_3^{\Phi \Phi}$ будет порядка $J_2^{\Phi \Phi}$ в том случае, когда вдоль направления \mathbf{k}_Φ имеется звуковая мода, скорость которой в два раза меньше моды с \mathbf{k}_2 . Например, эхо $J_2^{\Phi \Phi}$ — продольные волны той же частоты, эхо $J_3^{\Phi \Phi}$ — поперечные волны половинной частоты. В кристалле KCl $v_l/v_s = 2$ (v_l — скорость продольного звука, v_s — скорость поперечного звука).

$I_{\alpha\beta}^0(\mathbf{k}_\Phi)$ — интенсивность спонтанного излучения фононов изолированным примесным центром $I_{\alpha\beta}^0(\mathbf{k}_\Phi) = 3\omega_0^4 (A - B)^2 S^2 d^2 (64\pi^2 v^5)^{-1} \sim 10^{-12}$ эрг/с, где плотность кристалла (2 г/см^3), v — скорость звука в нем ($2.7 \cdot 10^5$ см/с), $(A - B)$ определяет величину диполь-фононной связи $(A - B) \sim 2 \cdot 10^{-12}$ эрг [15], $S \sim 10^{-2}$ — интеграл перекрытия [16], $d = (1/2)(\mathbf{b}_m \mathbf{n}_l + \mathbf{n}_m \mathbf{b}_l)$, $\mathbf{n} = \mathbf{k}/|\mathbf{k}|$, \mathbf{b} — единичный вектор поляризации фононов, $d = 1$. Интегральную интенсивность сигналов индукции и эха получим, выполняя суммирование по частицам и интегрирование по пространственным координатам от $\Omega = 0$ до $\Omega = 4\pi$ для прямоугольного образца с площадью сечения S_0 , перпендикулярного направлению \mathbf{k}_Φ [4]. Учитывая неоднородный характер уширения, оценим интегральную интенсивность сигналов при следующих значениях

параметров: $E_0 = 10$ кВ/см, $|G| = (A - B)\varepsilon S^{-1} \sim 4 \cdot 10^{-19}$ эрг, $T = 2$ К, $\omega_0 = 3 \cdot 10^{11}$ Гц, $|F| = (A - B)\varepsilon \sim 2 \cdot 10^{-17}$ эрг, $\lambda^2/4S_0 = 6.3 \cdot 10^{-12}$, $t_w = 10^{-9}$ с, $\varepsilon = 10^{-5}$; $J_1^{\text{фн}} \approx 8 \cdot 10^8$ эрг/с, $J^{\text{фн}} \approx 1.2 \cdot 10^4$ эрг/с, $J_1^{\text{н}} = 4.2 \cdot 10^6$ эрг/с, $J_2^{\text{н}} = 10^4$ эрг/с = $J_3^{\text{н}}$; $J_4^{\text{н}} = 10^2$ эрг/с; $(J_2^{\text{н}})^2/J_1^{\text{н}} = 10^{-2}$.

Расчеты показали, что как в случае электромагнитного, так и звукового возбуждения параэлектрических систем учет собственного дипольного момента приводит к появлению дополнительных сигналов индукции и эха.

Таким образом, эффекты взаимодействия когерентных внешних полей с параэлектрическими системами интересны тем, что они позволяют определять многие важнейшие характеристики этих систем (дипольные моменты, неоднородности внутрикристаллических полей), изучать взаимодействие дефектов с фононами. Эти системы могут найти применение в качестве источников гиперзвуковых колебаний в импульсном режиме.

Авторы признательны У. Х. Копвиллем, Н. К. Соловарову, В. В. Самарцеву и Г. М. Ершову за ценные замечания к работе.

Литература

- [1] F. Bloch. Phys. Rev., 70, 460, 1946.
- [2] В. Р. Нагибаров, У. Х. Копвиллем. ЖЭТФ, 52, 936, 1967.
- [3] R. H. Dicke. Phys. Rev., 93, 99, 1954.
- [4] J. D. Abella, N. A. Kurnit, S. R. Hartmann. Phys. Rev., 141, 391, 1966.
- [5] N. S. Shiren, T. G. Kazуaka. Phys. Rev. Lett., 21, 1800, 1968; 28, 1304, 1972.
- [6] У. Х. Копвиллем, В. Р. Нагибаров, В. А. Пирожков, В. В. Самарцев. ФТТ, 14, 1794, 1972.
- [7] Изв. АН СССР, сер. физ., 37, № 10, 1973.
- [8] Матер. I Всесоюзн. симпоз. по световому эхо. Казань, 1973.
- [9] Н. К. Соловаров, В. Р. Нагибаров. ФТТ, 11, 1136, 1968; ВИНТИ, Деп.-1131-69, Казань, 1969.
- [10] H. V. Shore. Phys. Rev., 151, 570, 1966.
- [11] Ф. Р. Гантмахер. Теория матриц, гл. V. «Наука», М., 1967.
- [12] C. Y. Fong. Phys. Rev., 165, 462, 1968.
- [13] В. В. Самарцев, А. Г. Шагидуллин. ФТТ, 17, 3078, 1975.
- [14] А. В. Алексеев, У. Х. Копвиллем, В. Р. Нагибаров. Изв. вузов, физика, 7, 1973.
- [15] V. G. Dick, D. Strauch. Phys. Rev., B2, 2200, 1970.
- [16] P. B. Сабурова. УФЖ, 20, 942, 1975.
- [17] W. M. Goubau. J. Low Temp. Phys., 14, 516, 1974.
- [18] У. Х. Копвиллем, В. Р. Нагибаров. ФТТ, 10, 750, 1968.
- [19] В. Р. Нагибаров, В. В. Самарцев. Опт. и спектр., 27, 275, 1969.

Поступило в Редакцию 15 марта 1976 г.